

ENUNCIADO

La estructura presentada en la figura está formada por cinco elementos y tiene una articulación en el nudo 4. Los elementos A y E son tipo pila, mientras que los elementos B, C, y D son tipo pórtico plano. El material de los cinco elementos es concreto con un módulo de elasticidad $E = 1,9 \times 10^7 \text{ kN/m}^2$, sus pilas son circulares y macizas de radio 45cm, mientras que los elementos tipo pórtico plano son de sección transversal rectangular de base 35cm y altura 40cm.

Las cargas externas están definidas por los valores de $Q_1 = 42 \text{ kN/m}$ y $Q_2 = 35 \text{ kN/m}$, mientras que la geometría de la estructura se define por $a = 3 \text{ m}$, $b = 5 \text{ m}$, $c = 3 \text{ m}$, $d = 3 \text{ m}$ y $e = 3 \text{ m}$. Además que lo anterior, el ingeniero geotecnista ha indicado que el suelo blando en el cual se encuentran las pilas tiene una rigidez lateral por unidad de longitud $k_{lateral} = 5100 \text{ kN/m}^2$

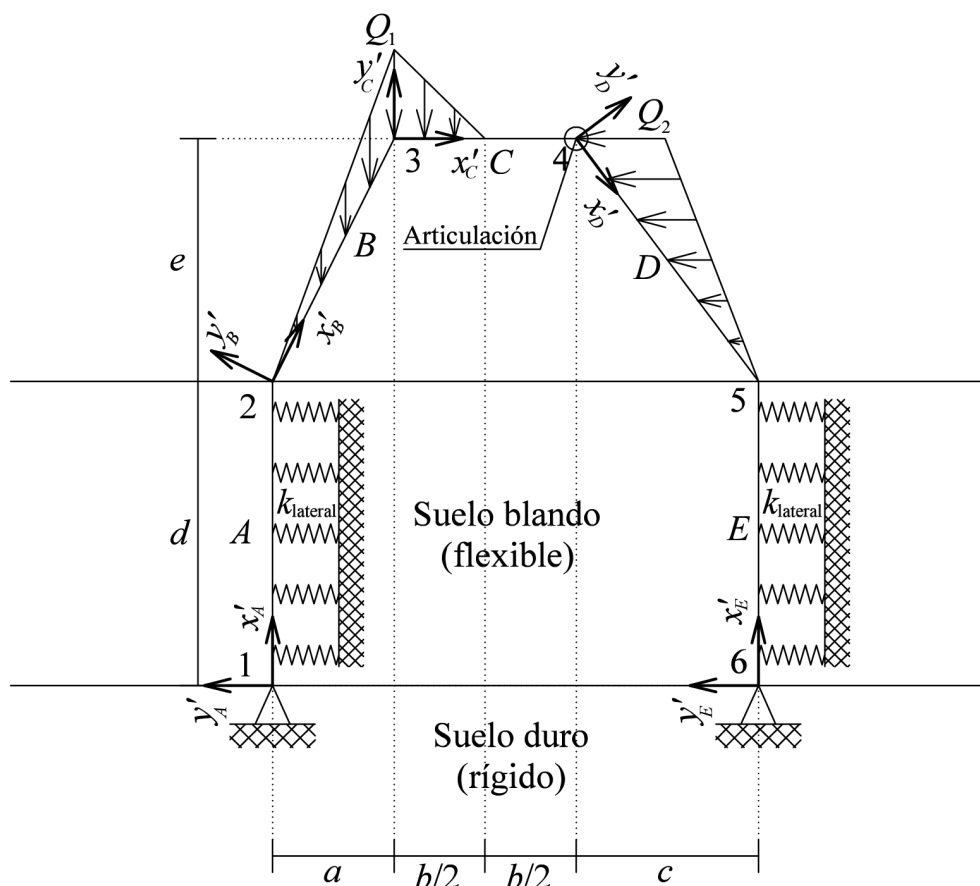


Figura 1: Diagrama de la Estructura

1. Introducción

2. Marco Teórico

2.1. Elemento tipo pórtico plano

El elemento tipo pórtico plano es la superposición de un elemento tipo cercha y uno tipo viga. en dirección del eje x'_E se comporta como una barra, mientras que en dirección y'_E se comporta como una viga, por lo tanto el elemento se encuentra sometido a cargas de flexión, cortantes y fuerzas axial.

Ecuaciones diferenciales gobernantes

las Ecuaciones diferenciales que gobiernan el comportamiento del elemento tipo pórtico plano son:

$$A_E E_E \frac{d^2 u_E}{dx_E'^2}(x'_E) = -p_E(x'_E) \quad (1)$$

$$E_E I_E \frac{d^4 v_E}{dx_E'^4}(x'_E) = q_E(x'_E) \quad (2)$$

Funciones de forma

Las funciones de forma para el comportamiento axial (eje local x'_E) son $\psi_1^E(x'_E)$ y $\psi_4^E(x'_E)$, mientras que las funciones de forma para el comportamiento en dirección y'_E son $\psi_2^E(x'_E)$, $\psi_3^E(x'_E)$, $\psi_5^E(x'_E)$, $\psi_6^E(x'_E)$.

$$\psi_1 = 1 - \left(\frac{x'_E}{L_E} \right) \quad (3)$$

$$\psi_2 = 1 - 3 \left(\frac{x'_E}{L_E} \right)^2 + 2 \left(\frac{x'_E}{L_E} \right)^3 \quad (4)$$

$$\psi_3 = L_E \left[\left(\frac{x'_E}{L_E} \right) - 2 \left(\frac{x'_E}{L_E} \right)^2 + \left(\frac{x'_E}{L_E} \right)^3 \right] \quad (5)$$

$$\psi_4 = \frac{x'_E}{L_E} \quad (6)$$

$$\psi_5 = 3 \left(\frac{x'_E}{L_E} \right)^2 - 2 \left(\frac{x'_E}{L_E} \right)^3 \quad (7)$$

$$\psi_6 = L_E \left[- \left(\frac{x'_E}{L_E} \right)^2 + \left(\frac{x'_E}{L_E} \right)^3 \right] \quad (8)$$

Función de Green

$$G_{xx}(x'_E, \xi'_E) = \begin{cases} G_{xx}^I(x'_E, \xi'_E) = \frac{L_E}{A_E E_E} \psi_4^E(x'_E) \psi_1^E(\xi'_E) & 0 < x'_E \leq \xi'_E \\ G_{xx}^{II}(x'_E, \xi'_E) = \frac{L_E}{A_E E_E} \psi_1^E(x'_E) \psi_4^E(\xi'_E) & \xi'_E \leq x'_E < L_E \end{cases} \quad (9)$$

$$G_{yy}(x'_E, \xi'_E) = \begin{cases} G_{yy}^I(x'_E, \xi'_E) = \frac{L_E^3}{6 E_E I_E} \left[- \left(\frac{x'_E}{L_E} \right)^3 \psi_2^E(\xi'_E) + 3 \left(\frac{x'_E}{L_E} \right)^2 \frac{\psi_3^E(\xi'_E)}{L_E} \right] & 0 < x'_E \leq \xi'_E \\ G_{yy}^{II}(x'_E, \xi'_E) = \frac{L_E^3}{6 E_E I_E} \left[- \left(1 - \frac{x'_E}{L_E} \right)^3 \psi_5^E(\xi'_E) + 3 \left(1 - \frac{x'_E}{L_E} \right)^2 \frac{\psi_6^E(\xi'_E)}{L_E} \right] & \xi'_E < x'_E \leq L_E \end{cases} \quad (10)$$

Descomposiciones de los campos de desplazamiento

Este tipo de elemento tiene dos componentes de desplazamientos (una en dirección del eje local x'_E y la otra en dirección del eje local y'_E), las cuales se descomponen de la siguiente manera respectivamente:

$$u_E(x'_E) = u_E^h(x'_E) + u_E^f(x'_E) \quad (11)$$

$$v_E(x'_E) = v_E^h(x'_E) + v_E^f(x'_E) \quad (12)$$

Campo de desplazamiento homogéneo

$$u_E^h(x'_E) = \psi_1^E(x'_E)u_i^E + \psi_4^E(x'_E)u_j^E \quad (13)$$

$$v_E^h(x'_E) = \psi_2^E(x'_E)v_i^E + \psi_3^E(x'_E)\theta_i^E + \psi_5^E(x'_E)v_j^E + \psi_6^E(x'_E)\theta_j^E \quad (14)$$

Campo empotrado

Las componentes de campo empotrado en dirección x'_E y y'_E se calcula a partir de las funciones de green.

$$u_E^f(x'_E) = \int_0^{x'_E} p_E(\xi'_E)G_{xx}^{II}(x'_E, \xi'_E)d\xi'_E + \int_{x'_E}^{L'_E} p_E(\xi'_E)G_{xx}^{II}(x'_E, \xi'_E)d\xi'_E \quad (15)$$

$$(16)$$

$$v_E^f(x'_E) = \int_0^{x'_E} q_E(\xi'_E)G_{yy}^{II}(x'_E, \xi'_E)d\xi'_E + \int_{x'_E}^{L'_E} q_E(\xi'_E)G_{yy}^{II}(x'_E, \xi'_E)d\xi'_E \quad (17)$$

Cálculo de fuerzas internas

Estas se hallan a partir de las ecuaciones diferenciales que gobiernan el comportamiento del elemento tipo pórtico plano.

$$P_E(x'_E) = A_E E_E \frac{du_E}{dx'_E}(x'_E) \quad (18)$$

$$M_E(x'_E) = E_E I_E \frac{d^2 v_E}{dx'^2_E}(x'_E) \quad (19)$$

$$V_E(x'_E) = -E_E I_E \frac{d^3 v_E}{dx'^3_E}(x'_E) \quad (20)$$

Sistema de ecuaciones en coordenadas locales

$$\begin{bmatrix} FX_i^E \\ FY_i^E \\ M_i^E \\ FX_j^E \\ FY_j^E \\ M_j^E \end{bmatrix} = \begin{bmatrix} \frac{A_E E_E}{L_E} & 0 & 0 & -\frac{A_E E_E}{L_E} & 0 & 0 \\ 0 & \frac{12E_E I_E}{L_E^3} & \frac{6E_E I_E}{L_E^2} & 0 & -\frac{12E_E I_E}{L_E^3} & \frac{6E_E I_E}{L_E^2} \\ 0 & \frac{6E_E I_E}{L_E^2} & \frac{4E_E I_E}{L_E} & 0 & -\frac{6E_E I_E}{L_E^2} & \frac{2E_E I_E}{L_E} \\ -\frac{A_E E_E}{L_E} & 0 & 0 & \frac{A_E E_E}{L_E} & 0 & 0 \\ 0 & -\frac{12E_E I_E}{L_E^3} & -\frac{6E_E I_E}{L_E^2} & 0 & \frac{12E_E I_E}{L_E^3} & -\frac{6E_E I_E}{L_E^2} \\ 0 & \frac{6E_E I_E}{L_E^2} & \frac{2E_E I_E}{L_E} & 0 & -\frac{6E_E I_E}{L_E^2} & \frac{4E_E I_E}{L_E} \end{bmatrix} \begin{bmatrix} u_i^E \\ v_i^E \\ \theta_i^E \\ u_j^E \\ v_j^E \\ \theta_j^E \end{bmatrix} - \begin{bmatrix} \int_0^{L_E} \psi_1^E(x'_E) p_E dx'_E \\ \int_0^{L_E} \psi_2^E(x'_E) q_E dx'_E \\ \int_0^{L_E} \psi_3^E(x'_E) q_E dx'_E \\ \int_0^{L_E} \psi_4^E(x'_E) p_E dx'_E \\ \int_0^{L_E} \psi_5^E(x'_E) q_E dx'_E \\ \int_0^{L_E} \psi_6^E(x'_E) q_E dx'_E \end{bmatrix}$$

Matriz de transformación de coordenadas

$$[T_E^*] = \begin{bmatrix} \cos(\theta_E - \phi_i) & \sin(\theta_E - \phi_i) & 0 & 0 & 0 & 0 \\ -\sin(\theta_E - \phi_i) & \cos(\theta_E - \phi_i) & 0 & 0 & 0 & 0 \\ 0 & 0 & 1 & 0 & 0 & 0 \\ 0 & 0 & 0 & \cos(\theta_E - \phi_j) & \sin(\theta_E - \phi_j) & 0 \\ 0 & 0 & 0 & -\sin(\theta_E - \phi_j) & \cos(\theta_E - \phi_j) & 0 \\ 0 & 0 & 0 & 0 & 0 & 1 \end{bmatrix}$$

2.2. Elemento tipo pila

Este elemento se encuentra compuesto por dos tipos de elementos, un elemento tipo viga sobre fundación flexible y otro elemento tipo pila sin fricción en el fuste.

Ecuaciones diferenciales gobernantes

Las ecuaciones que gobiernan el comportamiento del elemento son:

$$A_E E_E \frac{d^2 u_E}{dx_E'^2}(x_E') = -p_E(x_E') \quad (21)$$

$$E_E I_E \frac{d^4 v_E}{dx_E'^4}(x_E') + k_E v_E(x_E') = q_E(x_E') \quad (22)$$

$$(23)$$

Donde: k_E es la constate de rigidez del suelo

funciones de forma

Las funciones de forma para el comportamiento axial (eje local x_E') son ψ_1^E y ψ_4^E , las cuales corresponden al elemento tipo pórtico plano mencionado anteriormente.

Mientras que las funciones de forma para el comportamiento en dirección y_E' son Ψ_2^E , Ψ_3^E , Ψ_5^E , Ψ_6^E , las cuales corresponden al elemento tipo viga sobre fundación flexible de sección transversal constante.

$$\begin{aligned} \Psi_2^E(x_E') &= \frac{-(s^2 \cdot ch^2 + c^2 \cdot sh^2) \sin(\lambda_E x_E') + \sinh(\lambda_E x_E') + (s \cdot c + sh \cdot ch) [\sin(\lambda_E x_E') \cosh(\lambda_E x_E') - \cos(\lambda_E x_E') \sinh(\lambda_E x_E')] + (sh^2 - s^2) \cos(\lambda_E x_E') \cosh(\lambda_E x_E')}{sh^2 - s^2} \\ \Psi_3^E(x_E') &= \frac{1}{\lambda_E} \frac{(s \cdot c - sh \cdot ch) \sin(\lambda_E x_E') \sinh(\lambda_E x_E') + sh^2 \sin(\lambda_E x_E') \cosh(\lambda_E x_E') - s^2 \cos(\lambda_E x_E') \sinh(\lambda_E x_E')}{sh^2 - s^2} \\ \Psi_5^E(x_E') &= \frac{s \cdot sh \cdot \sin(\lambda_E x_E') \sinh(\lambda_E x_E') - (s \cdot ch + c \cdot sh) \sin(\lambda_E x_E') \cosh(\lambda_E x_E') + (s \cdot ch + c \cdot sh) \cos(\lambda_E x_E') \sinh(\lambda_E x_E')}{sh^2 - s^2} \\ \Psi_6^E(x_E') &= \frac{1}{\lambda_E} \frac{(c \cdot sh - s \cdot ch) \sin(\lambda_E x_E') \sinh(\lambda_E x_E') + s \cdot sh \cdot \sin(\lambda_E x_E') \cosh(\lambda_E x_E') - s \cdot sh \cdot \cos(\lambda_E x_E') \sinh(\lambda_E x_E')}{sh^2 - s^2} \end{aligned}$$

Donde:

$$s = \sin(\lambda_E x_E')$$

$$c = \cos(\lambda_E x_E')$$

$$sh = \sinh(\lambda_E x_E')$$

$$ch = \cosh(\lambda_E x_E')$$

$$\lambda_E = \sqrt[4]{\frac{k_E}{4E_E I_E}}$$

Función de Green

La función de green para una viga sobre fundación flexible doblemente empotrada sometida a una fuerza puntual es:

$$G_{yy}(x_E', \xi_E') = \begin{cases} G_{yy}^I(x_E', \xi_E') & 0 < x_E' \leq \xi_E' \\ G_{yy}^{II}(x_E', \xi_E') & \xi_E' < x_E' \leq L_E \end{cases} \quad (24)$$

Donde:

$$G_{yy}^I(x'_E, \xi'_E) = \frac{1}{E_E I_E} \left[-\frac{\sin(\lambda_E x'_E) \cosh(\lambda_E x'_E) - \sinh(\lambda_E x'_E) \cos(\lambda_E x'_E)}{4\lambda_E^3} \cdot \Psi_2^E(x'_E) + \frac{\sin(\lambda_E x'_E) \sinh(\lambda_E x'_E)}{2\lambda_E^2} \cdot \Psi_3^E(x'_E) \right]$$

$$G_{yy}^{II}(x'_E, \xi'_E) = \frac{1}{E_E I_E} \left[-\frac{\sin[\lambda_E(L_E - x'_E)] \cosh[\lambda_E(L_E - x'_E)] - \sinh[\lambda_E(L_E - x'_E)] \cos[\lambda_E(L_E - x'_E)]}{4\lambda_E^3} \cdot \Psi_5^E(x'_E) - \frac{\sin[\lambda_E(L_E - x'_E)] \sinh[\lambda_E(L_E - x'_E)]}{2\lambda_E^2} \cdot \Psi_6^E(x'_E) \right]$$

Descomposiciones de los campos de desplazamiento

De igual manera que en el elemento tipo pórtico plano se tienen dos componentes de desplazamientos (una en dirección del eje local x'_E y la otra en dirección del eje local y'_E), las cuales se descomponen de la siguiente manera respectivamente:

$$u_E(x'_E) = u_E^h(x'_E) + u_E^f(x'_E) \quad (25)$$

$$v_E(x'_E) = v_E^h(x'_E) + v_E^f(x'_E) \quad (26)$$

Campo de desplazamiento homogéneo

$$u_E^h(x'_E) = \psi_1^E(x'_E) u_i'^E + \psi_4^E(x'_E) u_j'^E \quad (27)$$

$$v_E^h(x'_E) = \Psi_2^E(x'_E) v_i'^E + \Psi_3^E(x'_E) \theta_i'^E + \Psi_5^E(x'_E) v_j'^E + \Psi_6^E(x'_E) \theta_j'^E \quad (28)$$

Campo empotrado

Las componentes de campo empotrado en dirección x'_E y y'_E se calcula a partir de las funciones de green.

$$u_E^f(x'_E) = \int_0^{x'_E} p_E(\xi'_E) G_{xx}^{II}(x'_E, \xi'_E) d\xi'_E + \int_{x'_E}^{L'_E} p_E(\xi'_E) G_{xx}^I(x'_E, \xi'_E) d\xi'_E \quad (29)$$

$$(30)$$

$$v_E^f(x'_E) = \int_0^{x'_E} q_E(\xi'_E) G_{yy}^{II}(x'_E, \xi'_E) d\xi'_E + \int_{x'_E}^{L'_E} q_E(\xi'_E) G_{yy}^I(x'_E, \xi'_E) d\xi'_E \quad (31)$$

Donde $G_{xx}(x'_E, \xi'_E)$ es la función de green de una barra doblemente empotrada y $G_{yy}(x'_E, \xi'_E)$ es la función de Green de una viga sobre fundación flexible doblemente empotrada.

Cálculo de fuerzas internas

Estas se hallan a partir de las ecuaciones diferenciales que gobiernan el comportamiento del elemento tipo pórtico plano.

$$P_E(x'_E) = A_E E_E \frac{du_E}{dx'_E}(x'_E) \quad (32)$$

$$M_E(x'_E) = E_E I_E \frac{d^2 v_E}{dx'^2_E}(x'_E) \quad (33)$$

$$V_E(x'_E) = -E_E I_E \frac{d^3 v_E}{dx'^3_E}(x'_E) \quad (34)$$

Fuerza que ejerce sobre la pila

La fuerza que el suelo ejerce sobre la pila solo ocurre en dirección del eje local y'_E y se calcula como:

$$f_s(x'_E) = -k_E v_E(x'_E) \quad (35)$$

Sistema de ecuaciones en coordenadas locales

$$\begin{bmatrix} FX_i^E \\ FY_i^E \\ M_i^E \\ FX_j^E \\ FY_j^E \\ M_j^E \end{bmatrix} = \begin{bmatrix} \frac{A_E E_E}{L_E} & 0 & 0 & -\frac{A_E E_E}{L_E} & 0 & 0 \\ 0 & k_{22} & k_{23} & 0 & k_{25} & k_{26} \\ 0 & k_{32} & k_{33} & 0 & k_{35} & k_{36} \\ -\frac{A_E E_E}{L_E} & 0 & 0 & \frac{A_E E_E}{L_E} & 0 & 0 \\ 0 & k_{52} & k_{53} & 0 & k_{55} & k_{56} \\ 0 & k_{62} & k_{63} & 0 & k_{65} & k_{66} \end{bmatrix} \begin{bmatrix} u_i^E \\ v_i^E \\ \theta_i^E \\ u_j^E \\ v_j^E \\ \theta_j^E \end{bmatrix} - \begin{bmatrix} \int_0^{L_E} \psi_1^E(x'_E) p_E dx'_E \\ \int_0^{L_E} \Psi_2^E(x'_E) q_E dx'_E \\ \int_0^{L_E} \Psi_3^E(x'_E) q_E dx'_E \\ \int_0^{L_E} \psi_4^E(x'_E) p_E dx'_E \\ \int_0^{L_E} \Psi_5^E(x'_E) q_E dx'_E \\ \int_0^{L_E} \Psi_6^E(x'_E) q_E dx'_E \end{bmatrix}$$

Donde los términos k_{ij} son aquellos de la viga sobre fundación flexible y se obtienen de la siguiente manera:

$$k_{22} = k_{55} = 4E_E I_E \lambda E^3 \cdot \frac{s \cdot c + sh \cdot ch}{sh^2 - s^2} \quad (36)$$

$$k_{23} = k_{32} = -k_{56} = -k_{65} = 2E_E I_E \lambda E^2 \cdot \frac{s^2 + sh^2}{sh^2 - s^2} \quad (37)$$

$$k_{25} = k_{52} = -4E_E I_E \lambda E^3 \cdot \frac{s \cdot ch + c \cdot sh}{sh^2 - s^2} \quad (38)$$

$$k_{26} = k_{62} = -k_{35} = -k_{53} = 4E_E I_E \lambda E^2 \cdot \frac{s \cdot sh}{sh^2 - s^2} \quad (39)$$

$$k_{33} = k_{66} = 2E_E I_E \lambda E^3 \cdot \frac{sh \cdot ch - s \cdot c}{sh^2 - s^2} \quad (40)$$

$$k_{36} = k_{63} = 2E_E I_E \lambda E^3 \cdot \frac{s \cdot ch - c \cdot ch}{sh^2 - s^2} \quad (41)$$

Matriz de transformación de coordenadas

$$[T_E^*] = \begin{bmatrix} \cos(\theta_E - \phi_i) & \sin(\theta_E - \phi_i) & 0 & 0 & 0 & 0 \\ -\sin(\theta_E - \phi_i) & \cos(\theta_E - \phi_i) & 0 & 0 & 0 & 0 \\ 0 & 0 & 1 & 0 & 0 & 0 \\ 0 & 0 & 0 & \cos(\theta_E - \phi_j) & \sin(\theta_E - \phi_j) & 0 \\ 0 & 0 & 0 & -\sin(\theta_E - \phi_j) & \cos(\theta_E - \phi_j) & 0 \\ 0 & 0 & 0 & 0 & 0 & 1 \end{bmatrix}$$

Nota:

El marco teórico fue realizado en base a las notas de clase del profesor Juan Camilo Molina villegas - Introducción al análisis matricial de estructuras [1]

3. Desarrollo

3.1. Datos iniciales

- a = 3m
- b = 5m
- c = 3m
- d = 3m
- e = 3m

- $K_{lateral} = 5100 \text{ kN/m}^2$
- $Q_1 = 42 \text{ kN/m}^2$
- $Q_2 = 35 \text{ kN/m}^2$
- $E = 2.2 \cdot 10^7 \text{ kN/m}^2$

Longitud de los elementos

- $L_A = d = 3 \text{ m}$
- $L_B = \sqrt{3^2 + 3^2} = \sqrt{18} \text{ m}$
- $L_C = b = 5 \text{ m}$
- $L_D = \sqrt{3^2 + 3^2} = \sqrt{18} \text{ m}$
- $L_E = d = 3 \text{ m}$

Sección transversal de los elementos

- Elementos tipo pila (A,E)
 - Pilas circulares de radio igual a 45 cm
- Elementos tipo pórtico plano (B,C,D)
 - Pilas circulares de radio igual a 45 cm
 - Elementos rectangulares de base 35 cm y altura 40 cm

3.2. transformación de las fuerzas externas en coordenadas locales

Elemento B

$$R'_B(x'_B) = -7 \sqrt{2} x'_B$$

$$p_B(x'_B) = R'_B(x'_B) | \cos(\theta_B) | \sin(\theta_B) = - - \frac{7 \sqrt{2} x'_B}{2}$$

$$q_B(x'_B) = R'_B(x'_B) | \cos(\theta_B) | \cos(\theta_B) = - \frac{7 \sqrt{2} x'_B}{2}$$

Elemento D

$$Q'_D(x'_D) = 11.666 x'_C - 35$$

$$p_D(x'_D) = Q'_D(x'_D) | \sin(\theta_D) | \cos(\theta_D) = 5.833 x'_C - \frac{35}{2}$$

$$q_D(x'_D) = -Q'_D(x'_D) | \sin(\theta_D) | \sin(\theta_D) = 5.833 x'_C - \frac{35}{2}$$

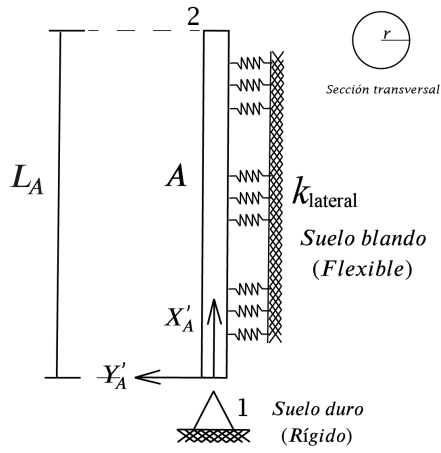


Figura 2: Elemento A

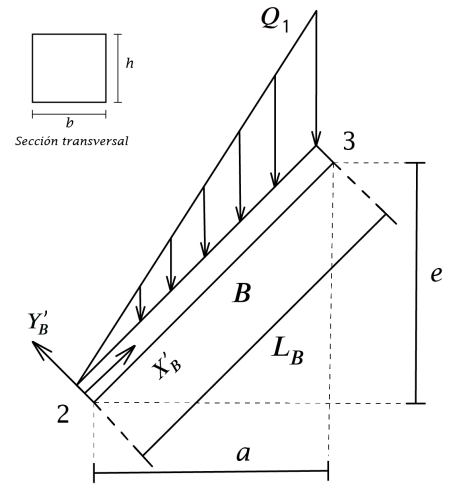


Figura 3: Elemento B

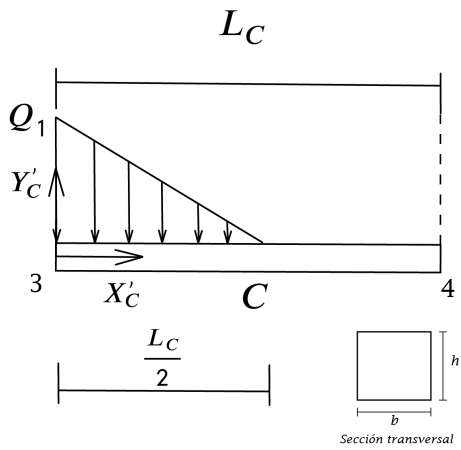


Figura 4: Elemento C

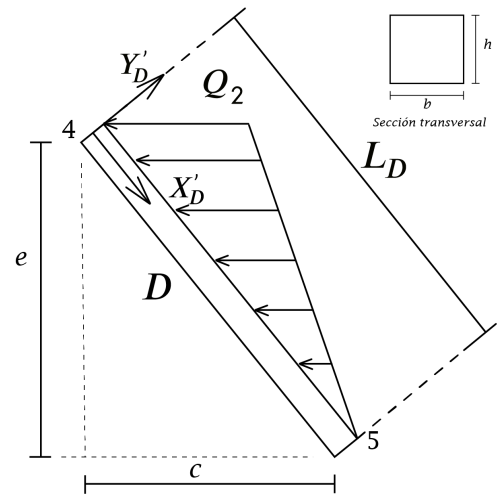


Figura 5: Elemento D

3.3. Discretización de los elementos

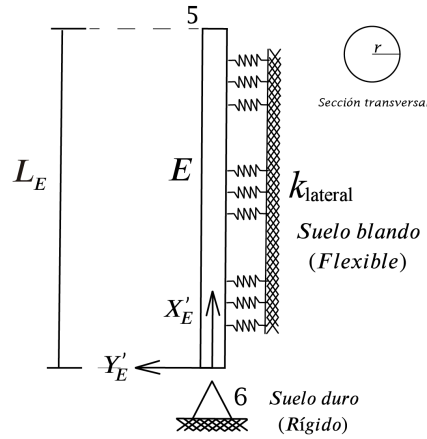


Figura 6: Elemento E

3.4. Matrices de rigidez y transformación en coordenadas locales por elemento

Siguiendo la teoría anteriormente descrita, según el tipo de elemento se determina su correspondiente matriz de rigidez en coordenadas locales y se define el correspondiente sistema de ecuaciones en coordenadas locales.

Elemento A

$$\begin{Bmatrix} FX_1^A \\ FY_1^A \\ M_1^A \\ FX_2^A \\ FY_2^A \\ M_2^A \end{Bmatrix} = \begin{bmatrix} 4029092.58 & 0.0 & 0.0 & -4029092.58 & 0.0 & 0.0 \\ 0.0 & 277642.84 & 410347.54 & 0.0 & -270000.01 & 406527.14 \\ 0.0 & 410347.54 & 817201.17 & 0.0 & -406527.14 & 406963.51 \\ -4029092.58 & 0.0 & 0.0 & 4029092.58 & 0.0 & 0.0 \\ 0.0 & -270000.01 & -406527.14 & 0.0 & 277642.84 & -410347.54 \\ 0.0 & 406527.14 & 406963.51 & 0.0 & -410347.54 & 817201.17 \end{bmatrix} \begin{Bmatrix} u_1^A \\ v_1^A \\ \theta_1^A \\ u_2^A \\ v_2^A \\ \theta_2^A \end{Bmatrix} \quad (42)$$

Elemento B

$$\begin{Bmatrix} FX_2^B \\ FY_2^B \\ M_2^B \\ FX_3^B \\ FY_3^B \\ M_3^B \end{Bmatrix} = \begin{bmatrix} 626968.01 & 0.0 & 0.0 & -626968.01 & 0.0 & 0.0 \\ 0.0 & 5573.05 & 11822.22 & 0.0 & -5573.05 & 11822.22 \\ 0.0 & 11822.22 & 33438.29 & 0.0 & -11822.22 & 16719.15 \\ -626968.01 & 0.0 & 0.0 & 626968.01 & 0.0 & 0.0 \\ 0.0 & -5573.05 & -11822.22 & 0.0 & 5573.05 & -11822.22 \\ 0.0 & 11822.22 & 16719.15 & 0.0 & -11822.22 & 33438.29 \end{bmatrix} \begin{Bmatrix} u_2^B \\ v_2^B \\ \theta_2^B \\ u_3^B \\ v_3^B \\ \theta_3^B \end{Bmatrix} + \begin{Bmatrix} 14.85 \\ 13.36 \\ 12.6 \\ 29.7 \\ 31.18 \\ -18.9 \end{Bmatrix} \quad (43)$$

Elemento C

$$\begin{Bmatrix} FX_3'^C \\ FY_3'^C \\ M_3'^C \\ FX_4'^C \\ FY_4'^C \\ M_4'^C \end{Bmatrix} = \begin{bmatrix} 532000.0 & 0.0 & 0.0 & -532000.0 & 0.0 & 0.0 \\ 0.0 & 3404.8 & 8512.0 & 0.0 & -3404.8 & 8512.0 \\ 0.0 & 8512.0 & 28373.33 & 0.0 & -8512.0 & 14186.67 \\ -532000.0 & 0.0 & 0.0 & 532000.0 & 0.0 & 0.0 \\ 0.0 & -3404.8 & -8512.0 & 0.0 & 3404.8 & -8512.0 \\ 0.0 & 8512.0 & 14186.67 & 0.0 & -8512.0 & 28373.33 \end{bmatrix} \begin{Bmatrix} u_3'^C \\ v_2'^C \\ \theta_2'^C \\ u_4'^C \\ v_4'^C \\ \theta_4'^C \end{Bmatrix} + \begin{Bmatrix} 0.0 \\ 47.25 \\ 25.16 \\ 0.0 \\ 5.25 \\ -7.66 \end{Bmatrix} \quad (44)$$

Elemento D

$$\begin{Bmatrix} FX_4'^D \\ FY_4'^D \\ M_4'^D \\ FX_5'^D \\ FY_5'^D \\ M_5'^D \end{Bmatrix} = \begin{bmatrix} 626968.01 & 0.0 & 0.0 & -626968.01 & 0.0 & 0.0 \\ 0.0 & 5573.05 & 11822.22 & 0.0 & -5573.05 & 11822.22 \\ 0.0 & 11822.22 & 33438.29 & 0.0 & -11822.22 & 16719.15 \\ -626968.01 & 0.0 & 0.0 & 626968.01 & 0.0 & 0.0 \\ 0.0 & -5573.05 & -11822.22 & 0.0 & 5573.05 & -11822.22 \\ 0.0 & 11822.22 & 16719.15 & 0.0 & -11822.22 & 33438.29 \end{bmatrix} \begin{Bmatrix} u_4'^D \\ v_4'^D \\ \theta_4'^D \\ u_5'^D \\ v_5'^D \\ \theta_5'^D \end{Bmatrix} + \begin{Bmatrix} 19.62 \\ 21.37 \\ 11.4 \\ 2.12 \\ 0.37 \\ -3.98 \end{Bmatrix} \quad (45)$$

Elemento E

$$\begin{Bmatrix} FX_6'^E \\ FY_6'^E \\ M_6'^E \\ FX_5'^E \\ FY_5'^E \\ M_5'^E \end{Bmatrix} = \begin{bmatrix} 4029092.58 & 0.0 & 0.0 & -4029092.58 & 0.0 & 0.0 \\ 0.0 & 277642.84 & 410347.54 & 0.0 & -270000.01 & 406527.14 \\ 0.0 & 410347.54 & 817201.17 & 0.0 & -406527.14 & 406963.51 \\ -4029092.58 & 0.0 & 0.0 & 4029092.58 & 0.0 & 0.0 \\ 0.0 & -270000.01 & -406527.14 & 0.0 & 277642.84 & -410347.54 \\ 0.0 & 406527.14 & 406963.51 & 0.0 & -410347.54 & 817201.17 \end{bmatrix} \begin{Bmatrix} u_6'^E \\ v_6'^E \\ \theta_6'^E \\ u_5'^E \\ v_5'^E \\ \theta_5'^E \end{Bmatrix} \quad (46)$$

3.5. Sistema de ecuaciones de cada elemento en coordenadas globales

El sistema se transforma de coordenadas locales a globales por medio de $[T_E^*]$ realizando el siguiente producto de matrices:

$$[T_E^*]^T \cdot [K_E] \cdot [T_E^*] \quad (47)$$

Elemento A

$$[T_A^*] = \begin{bmatrix} 0.0 & 1.0 & 0.0 & 0.0 & 0.0 & 0.0 \\ -1.0 & 0.0 & 0.0 & 0.0 & 0.0 & 0.0 \\ 0.0 & 0.0 & 1.0 & 0.0 & 0.0 & 0.0 \\ 0.0 & 0.0 & 0.0 & 0.0 & 1.0 & 0.0 \\ 0.0 & 0.0 & 0.0 & -1.0 & 0.0 & 0.0 \\ 0.0 & 0.0 & 0.0 & 0.0 & 0.0 & 1.0 \end{bmatrix} \quad (48)$$

$$\begin{Bmatrix} FX_1^A \\ FY_1^A \\ M_1^A \\ FX_2^A \\ FY_2^A \\ M_2^A \end{Bmatrix} = \begin{bmatrix} 277642.84 & 0.0 & -410347.54 & -270000.01 & 0.0 & -406527.14 \\ 0.0 & 4029092.58 & 0.0 & 0.0 & -4029092.58 & 0.0 \\ -410347.54 & 0.0 & 817201.17 & 406527.14 & 0.0 & 406963.51 \\ -270000.01 & 0.0 & 406527.14 & 277642.84 & 0.0 & 410347.54 \\ 0.0 & -4029092.58 & 0.0 & 0.0 & 4029092.58 & 0.0 \\ -406527.14 & 0.0 & 406963.51 & 410347.54 & 0.0 & 817201.17 \end{bmatrix} \begin{Bmatrix} u_1^A \\ v_1^A \\ \theta_1^A \\ u_2^A \\ v_2^A \\ \theta_2^A \end{Bmatrix} \quad (49)$$

Elemento B

$$[T_B^*] = \begin{bmatrix} 0.71 & 0.71 & 0.0 & 0.0 & 0.0 & 0.0 \\ -0.71 & 0.71 & 0.0 & 0.0 & 0.0 & 0.0 \\ 0.0 & 0.0 & 1.0 & 0.0 & 0.0 & 0.0 \\ 0.0 & 0.0 & 0.0 & 0.71 & 0.71 & 0.0 \\ 0.0 & 0.0 & 0.0 & -0.71 & 0.71 & 0.0 \\ 0.0 & 0.0 & 0.0 & 0.0 & 0.0 & 1.0 \end{bmatrix} \quad (50)$$

$$\begin{Bmatrix} FX_2^B \\ FY_2^B \\ M_2^B \\ FX_3^B \\ FY_3^B \\ M_3^B \end{Bmatrix} = \begin{bmatrix} 316270.53 & 310697.48 & -8359.57 & -316270.53 & -310697.48 & -8359.57 \\ 310697.48 & 316270.53 & 8359.57 & -310697.48 & -316270.53 & 8359.57 \\ -8359.57 & 8359.57 & 33438.29 & 8359.57 & -8359.57 & 16719.15 \\ -316270.53 & -310697.48 & 8359.57 & 316270.53 & 310697.48 & 8359.57 \\ -310697.48 & -316270.53 & -8359.57 & 310697.48 & 316270.53 & -8359.57 \\ -8359.57 & 8359.57 & 16719.15 & 8359.57 & -8359.57 & 33438.29 \end{bmatrix} \begin{Bmatrix} u_2^B \\ v_2^B \\ \theta_2^B \\ u_3^B \\ v_3^B \\ \theta_3^B \end{Bmatrix} + \begin{Bmatrix} 1.05 \\ 19.95 \\ 12.6 \\ -1.05 \\ 43.05 \\ -18.9 \end{Bmatrix} \quad (51)$$

Elemento C

$$[T_C^*] = \begin{bmatrix} 1.0 & 0.0 & 0.0 & 0.0 & 0.0 & 0.0 \\ 0.0 & 1.0 & 0.0 & 0.0 & 0.0 & 0.0 \\ 0.0 & 0.0 & 1.0 & 0.0 & 0.0 & 0.0 \\ 0.0 & 0.0 & 0.0 & 1.0 & 0.0 & 0.0 \\ 0.0 & 0.0 & 0.0 & 0.0 & 1.0 & 0.0 \\ 0.0 & 0.0 & 0.0 & 0.0 & 0.0 & 1.0 \end{bmatrix} \quad (52)$$

$$\begin{Bmatrix} FX_3^C \\ FY_3^C \\ M_3^C \\ FX_4^C \\ FY_4^C \\ M_4^C \end{Bmatrix} = \begin{bmatrix} 532000.0 & 0.0 & 0.0 & -532000.0 & 0.0 & 0.0 \\ 0.0 & 3404.8 & 8512.0 & 0.0 & -3404.8 & 8512.0 \\ 0.0 & 8512.0 & 28373.33 & 0.0 & -8512.0 & 14186.67 \\ -532000.0 & 0.0 & 0.0 & 532000.0 & 0.0 & 0.0 \\ 0.0 & -3404.8 & -8512.0 & 0.0 & 3404.8 & -8512.0 \\ 0.0 & 8512.0 & 14186.67 & 0.0 & -8512.0 & 28373.33 \end{bmatrix} \begin{Bmatrix} u_3^C \\ v_3^C \\ \theta_3^C \\ u_4^C \\ v_4^C \\ \theta_4^C \end{Bmatrix} + \begin{Bmatrix} 0.0 \\ 47.25 \\ 25.16 \\ 0.0 \\ 5.25 \\ -7.66 \end{Bmatrix} \quad (53)$$

Elemento D

$$[T_D^*] = \begin{bmatrix} 0.71 & -0.71 & 0.0 & 0.0 & 0.0 & 0.0 \\ 0.71 & 0.71 & 0.0 & 0.0 & 0.0 & 0.0 \\ 0.0 & 0.0 & 1.0 & 0.0 & 0.0 & 0.0 \\ 0.0 & 0.0 & 0.0 & 0.71 & -0.71 & 0.0 \\ 0.0 & 0.0 & 0.0 & 0.71 & 0.71 & 0.0 \\ 0.0 & 0.0 & 0.0 & 0.0 & 0.0 & 1.0 \end{bmatrix} \quad (54)$$

$$\begin{Bmatrix} FX_4^D \\ FY_4^D \\ M_4^D \\ FX_5^D \\ FY_5^D \\ M_5^D \end{Bmatrix} = \begin{bmatrix} 316270.53 & -310697.48 & 8359.57 & -316270.53 & 310697.48 & 8359.57 \\ -310697.48 & 316270.53 & 8359.57 & 310697.48 & -316270.53 & 8359.57 \\ 8359.57 & 8359.57 & 33438.29 & -8359.57 & -8359.57 & 16719.15 \\ -316270.53 & 310697.48 & -8359.57 & 316270.53 & -310697.48 & -8359.57 \\ 310697.48 & -316270.53 & -8359.57 & -310697.48 & 316270.53 & -8359.57 \\ 8359.57 & 8359.57 & 16719.15 & -8359.57 & -8359.57 & 33438.29 \end{bmatrix} \begin{Bmatrix} u_4^D \\ v_4^D \\ \theta_4^D \\ u_5^D \\ v_5^D \\ \theta_5^D \end{Bmatrix} + \begin{Bmatrix} 28.99 \\ 1.24 \\ 11.4 \\ 1.77 \\ -1.24 \\ -3.98 \end{Bmatrix} \quad (55)$$

Elemento E

$$[T_E^*] = \begin{bmatrix} 0.0 & 1.0 & 0.0 & 0.0 & 0.0 & 0.0 \\ -1.0 & 0.0 & 0.0 & 0.0 & 0.0 & 0.0 \\ 0.0 & 0.0 & 1.0 & 0.0 & 0.0 & 0.0 \\ 0.0 & 0.0 & 0.0 & 0.0 & 1.0 & 0.0 \\ 0.0 & 0.0 & 0.0 & -1.0 & 0.0 & 0.0 \\ 0.0 & 0.0 & 0.0 & 0.0 & 0.0 & 1.0 \end{bmatrix} \quad (56)$$

$$\begin{Bmatrix} FX_5^E \\ FY_5^E \\ M_5^E \\ FX_6^E \\ FY_6^E \\ M_6^E \end{Bmatrix} = \begin{bmatrix} 277642.84 & 0.0 & -410347.54 & -270000.01 & 0.0 & -406527.14 \\ 0.0 & 4029092.58 & 0.0 & 0.0 & -4029092.58 & 0.0 \\ -410347.54 & 0.0 & 817201.17 & 406527.14 & 0.0 & 406963.51 \\ -270000.01 & 0.0 & 406527.14 & 277642.84 & 0.0 & 410347.54 \\ 0.0 & -4029092.58 & 0.0 & 0.0 & 4029092.58 & 0.0 \\ -406527.14 & 0.0 & 406963.51 & 410347.54 & 0.0 & 817201.17 \end{bmatrix} \begin{Bmatrix} u_5^E \\ v_5^E \\ \theta_5^E \\ u_6^E \\ v_6^E \\ \theta_6^E \end{Bmatrix} + \begin{Bmatrix} 0.0 \\ 0.0 \\ 0.0 \\ 0.0 \\ 0.0 \\ 0.0 \end{Bmatrix} \quad (57)$$

4. Cálculo de los desplazamientos nodales

La porción del sistema de ecuaciones que contiene las fuerzas nodales conocidas y los desplazamiento nodales desconocidas es:

4.1. Ensamblaje del sistema de ecuaciones

las ecuaciones de equilibrio que se utilizan para el ensamblaje del sistema son las siguientes:

$$\begin{pmatrix} M_1 \\ FX_2 \\ FY_2 \\ M_2 \\ FX_3 \\ FY_3 \\ M_3 \\ FX_4 \\ FY_4 \\ M_4^C \\ M_4^D \\ FX_5 \\ FY_5 \\ M_5 \\ M_6 \end{pmatrix} = \begin{bmatrix} M_1^A \\ FX_2^A + FX_2^B \\ FY_2^A + FY_2^B \\ M_2^A + M_2^B \\ FX_3^B + FX_3^C \\ FY_3^B + FY_3^C \\ M_3^B + M_3^C \\ FX_4^C + FX_4^D \\ FY_4^C + FY_4^D \\ M_4^C \\ M_4^D \\ FX_5^D + FX_5^E \\ FY_5^D + FY_5^E \\ M_5^D + M_5^E \\ M_6^E \end{bmatrix} * \begin{pmatrix} \theta_1 \\ u_2 \\ v_2 \\ \theta_2 \\ u_3 \\ v_3 \\ \theta_3 \\ u_4 \\ v_4 \\ \theta_4^C \\ \theta_4^D \\ u_5 \\ v_5 \\ \theta_5 \\ \theta_6 \end{pmatrix} = \begin{pmatrix} 0 \\ 0 \\ 0 \\ 0 \\ 0 \\ 0 \\ 0 \\ 0 \\ 0 \\ 0 \\ 0 \\ 0 \\ 0 \\ 0 \\ 0 \\ 0 \end{pmatrix}$$

$$\begin{Bmatrix} \theta_1 \\ u_2 \\ v_2 \\ \theta_2 \\ u_3 \\ v_3 \\ \theta_3 \\ u_4 \\ v_4 \\ \theta_4^C \\ \theta_4^D \\ u_5 \\ v_5 \\ \theta_5 \\ \theta_6 \end{Bmatrix} = \begin{Bmatrix} 0.000675 \\ -0.00183 \\ -2.51 \cdot 10^{-5} \\ 0.00047 \\ 0.00316 \\ -0.00521 \\ -0.00135 \\ 0.00309 \\ 0.00167 \\ 0.00301 \\ -0.000963 \\ 0.00137 \\ -3.61 \cdot 10^{-6} \\ -0.000452 \\ -0.000456 \end{Bmatrix} \quad (59)$$

4.2. Cálculo de las reacciones y fuerzas que el suelo ejerce sobre las pilas en coordenadas globales.

4.2.1. Reacciones

Una vez teniendo determinados los desplazamientos nodales se procede a determinar las reacciones en FX_1, FY_1, FX_6, FY_6 haciendo uso de la porción que las realciona con los desplazamientos hallados.

$$\begin{Bmatrix} FX_1 \\ FY_1 \\ FX_6 \\ FY_6 \end{Bmatrix} = \begin{bmatrix} 406527.14 & 593913.37 & 310697.48 & 401987.96 & -316270.53 & -310697.48 & -8359.57 & 0.0 & 0.0 & 0.0 & 0.0 & 0.0 \\ 0.0 & 310697.48 & 4345363.11 & 8359.57 & -310697.48 & -316270.53 & 8359.57 & 0.0 & 0.0 & 0.0 & 0.0 & 0.0 \\ 0.0 & 0.0 & 0.0 & 0.0 & 0.0 & 0.0 & 0.0 & -316270.53 & 310697.48 & 0.0 & -8359.57 & 593913.37 \\ 0.0 & 0.0 & 0.0 & 0.0 & 0.0 & 0.0 & 0.0 & 310697.48 & -316270.53 & 0.0 & -8359.57 & -310697.48 \end{bmatrix} \begin{Bmatrix} \theta_1 \\ u_2 \\ v_2 \\ \theta_2 \\ u_3 \\ v_3 \\ \theta_3 \\ u_4 \\ v_4 \\ \theta_4^C \\ \theta_4^D \\ u_5 \\ v_5 \\ \theta_5 \\ \theta_6 \end{Bmatrix} \quad (60)$$

$$\begin{Bmatrix} FX_1 \\ FY_1 \\ FX_6 \\ FY_6 \end{Bmatrix} = \begin{Bmatrix} 25.268 \\ 100.957 \\ 1.217 \\ 14.543 \end{Bmatrix} \quad (61)$$

4.2.2. Fuerzas del suelo sobre las pilas

Elemento A

$$f_s(x'_A) = 2.21 \cdot 10^{-15} \sin(0.214x'_A) \sinh(0.214x'_A) - 2.66 \sin(0.214x'_A) \cosh(0.214x'_A) - 13.5 \cos(0.214x'_A) \sinh(0.214x'_A) \quad (62)$$

Elemento E

$$f_s(x'_E) = 2.21 \cdot 10^{-15} \sin(0.214x'_E) \sinh(0.214x'_E) + 5.7 \sin(0.214x'_E) \cosh(0.214x'_E) + 5.18 \cos(0.214x'_E) \sinh(0.214x'_E) \quad (63)$$

5. Cálculo de las funciones y diagramas de desplazamientos para cada elemento

Elemento A

$$u_A(x'_A) = -8.35 \cdot 10^{-6} x'_A$$

$$v_A(x'_A) = -4.34 \cdot 10^{-19} \sin(0.214x'_A) \sinh(0.214x'_A) + 0.000521 \sin(0.214x'_A) \cosh(0.214x'_A) + 0.00264 \cos(0.214x) \sinh(0.214x'_A)$$

Elemento B

$$u_B(x'_B) = 3.1 \cdot 10^{-7} x'^3_B - 3.75 \cdot 10^{-5} x'_B - 0.00131$$

$$v_B(x'_B) = -1.16 \cdot 10^{-6} x'^5_B + 0.000203 x'^3_B - 0.00128 x'^2_B + 0.000471 x'_B + 0.00127$$

Elemento C

$$u_B(x'_C) = -1.5 \cdot 10^{-5} x'_C + 0.00316$$

$$v_B(x'_C) = \begin{cases} v'_C & \text{si } 0 < x'_C \leq \frac{LC}{2} \\ v''_C & \text{si } \frac{LC}{2} < x'_C \leq LC \end{cases}$$

Donde:

$$v'_C = 4.66 \cdot 10^{-10} x'^7_C + 3.94 \cdot 10^{-6} x'^5_C - 4.94 \cdot 10^{-5} x'^4_C + 0.000178 x'^3_C + 0.000408 x'^2_C - 0.00135 x'_C - 0.00521$$

$$v''_C = -6.83 \cdot 10^{-5} x'^3_C + 0.00103 x'^2_C - 0.00212 x'_C - 0.00482$$

Elemento D

$$u_B(x'_D) = -3.65 \cdot 10^{-7} x'^3_D + 3.29 \cdot 10^{-6} x'^2_D - 1.45 \cdot 10^{-5} x'_D + 0.001 \quad (64)$$

$$v_B(x'_D) = -1.16 \cdot 10^{-10} x'^7_D - 1.86 \cdot 10^{-9} x'^6_D + 1.37 \cdot 10^{-6} x'^5_D - 2.06 \cdot 10^{-5} x'^4_D + 8.46 \cdot 10^{-5} x'^3_D + 3.73 \cdot 10^{-7} x'^2_D - 0.000964 x'_D + 0.0033 \quad (65)$$

Elemento E

$$u_E(x'_E) = -1.2 \cdot 10^{-6} X'_E$$

$$v_B(x'_E) = -4.34 \cdot 10^{-19} \sin(0.214x'_E) \sinh(0.214x'_E) - 0.00112 \sin(0.214x'_E) \cosh(0.214x'_E) - 0.00102 \cos(0.214x'_E) \sinh(0.214x'_E)$$

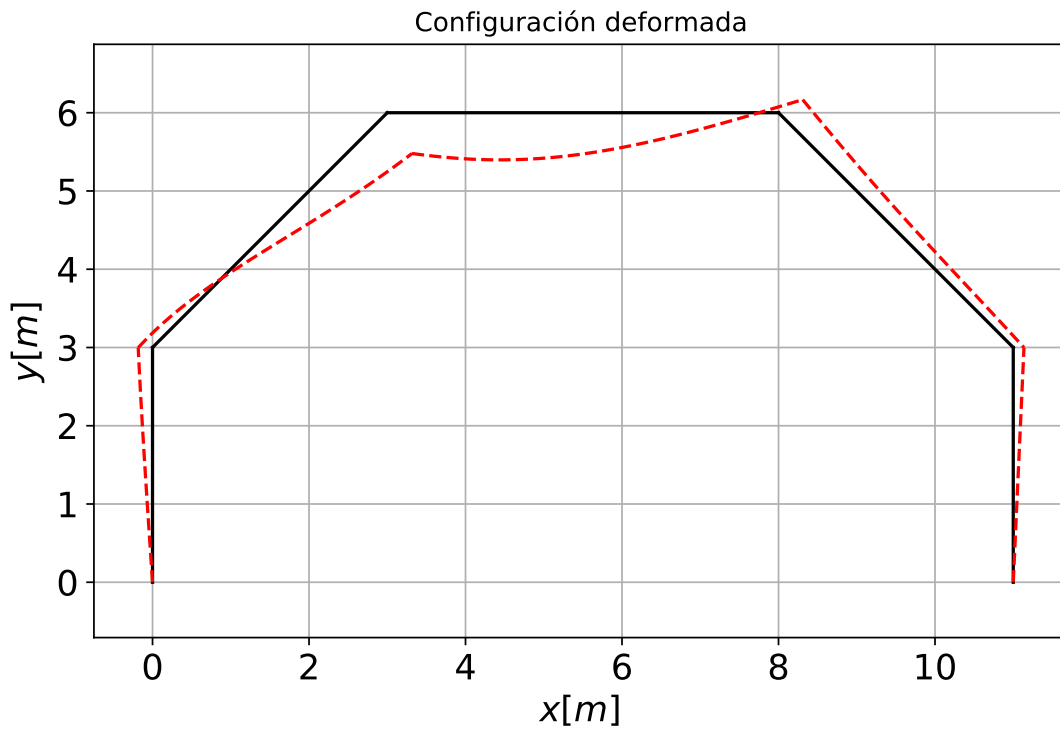


Figura 7: Configuración Deformada para cada uno de los elementos

6. Cálculo de las fuerzas internas(axial, cortante y momento flector) para cada elemento en coordenadas locales

A partir de los campos de desplazamientos en coordenadas locales se obtienen derivando las fuerzas internas para cada elemento.

Elemento A

$$P_E(x'_A) = -101.0V_E(x'_A) = 37.7 \sin(0.214x'_A) \sinh(0.214x'_A) - 5.18 \cdot 10^{-15} \sin(0.214x'_A) \cosh(0.214x'_A) + 5.18 \cdot 10^{-15} \cos(0.214x'_A) \sinh(0.214x'_A)$$

(66)

x'_A	$P(x'_A)$	$V(x'_A)$	$M(x'_A)$
0.000	-100.957	25.268	-0.000
0.333	-100.957	25.459	-8.444
0.667	-100.957	26.031	-17.015
1.000	-100.957	26.980	-25.840
1.333	-100.957	28.299	-35.043
1.667	-100.957	29.980	-44.746
2.000	-100.957	32.009	-55.068
2.333	-100.957	34.372	-66.122
2.667	-100.957	37.049	-78.017
3.000	-100.957	40.018	-90.854

(67)

Elemento B

$$P_E(x'_A) = -0.000244x_B'^3 + 2.48x_B'^2 - 99.7$$

$$V_E(x'_A) = -0.000488x_B'^4 + 2.48x_B'^2 - 43.1$$

$$M_E(x'_A) = -0.823x_B'^3 + 43.1x_B' - 90.8 \quad (68)$$

x'_B	$P(x'_B)$	$V(x'_B)$	$M(x'_B)$
0.000	-99.685	-43.091	-90.854
0.471	-99.135	-42.541	-70.627
0.943	-97.485	-40.891	-50.919
1.414	-94.735	-38.141	-32.248
1.886	-90.885	-34.291	-15.132
2.357	-85.935	-29.341	-0.091
2.828	-79.886	-23.292	12.358
3.300	-72.736	-16.142	21.696
3.771	-64.486	-7.892	27.404
4.243	-55.137	1.457	28.964

(69)

Elemento C

$$P_E(x'_A) = -0.000244x_B'^3 + 2.48x_B'^2 - 99.7$$

$$V_E(x'_A) = -0.000488x_B'^4 + 2.48x_B'^2 - 43.1$$

$$M_E(x'_A) = -0.823x_B'^3 + 43.1x_B' - 90.8$$

x'_C	$P(x'_C)$	$V(x'_C)$	$M(x'_C)$
0.000	-40.018	-37.957	28.964
0.556	-40.018	-17.217	44.050
1.111	-40.018	-1.661	49.053
1.667	-40.018	8.709	46.855
2.222	-40.018	13.895	40.337
2.778	-40.018	14.543	32.317
3.333	-40.018	14.543	24.238
3.889	-40.018	14.543	16.159
4.444	-40.018	14.543	8.079
5.000	-40.018	14.543	-0.000

(70)

Elemento D

$$P_E(x'_D) = -2.92x'^2_D + 17.5x'_D - 38.6$$

$$V_E(x'_D) = -2.92x'^2_D + 17.5x'_D - 18.0$$

$$M_E(x'_D) = x'_D \left(0.000977x'^3_D + 0.971x'^2_D - 8.75x'_D + 18.0 \right)$$

x'_D	$P(x'_D)$	$V(x'_D)$	$M(x'_D)$
0.000	-38.580	-18.014	-0.000
0.471	-30.979	-10.412	6.649
0.943	-24.674	-4.107	10.020
1.414	-19.665	0.902	10.725
1.886	-15.952	4.614	9.374
2.357	-13.536	7.030	6.578
2.828	-12.416	8.150	2.949
3.300	-12.592	7.974	-0.902
3.771	-14.065	6.501	-4.365
4.243	-16.834	3.732	-6.828

(71)

Elemento E

$$P_E(x'_E) = -14.5$$

$$V_E(x'_E) = -25.5 \sin(0.214x'_E) \sinh(0.214x'_E) - 5.18 \cdot 10^{-15} \sin(0.214x'_E) \cosh(0.214x'_E) + 5.18 \cdot 10^{-15} \cos(0.214x'_E) \sinh(0.214x'_E) + 1.22 \cos(0.214x'_E) \cosh(0.214x'_E)$$

$$M_E(x'_E) = 56.8 \sin(0.214x'_E) \cosh(0.214x'_E) - 62.5 \cos(0.214x'_E) \sinh(0.214x'_E) - 2.42 \cdot 10^{-14} \cos(0.214x'_E) \cosh(0.214x'_E)$$

x_E	$P(x'_E)$	$V(x'_E)$	$M(x'_E)$
0.000	-14.543	1.217	-0.000
0.333	-14.543	1.088	-0.391
0.667	-14.543	0.700	-0.696
1.000	-14.543	0.054	-0.829
1.333	-14.543	-0.852	-0.703
1.667	-14.543	-2.016	-0.232
2.000	-14.543	-3.440	0.670
2.333	-14.543	-5.123	2.090
2.667	-14.543	-7.065	4.114
3.000	-14.543	-9.264	6.828

(72)

6.1. Diagramas campos de las fuerzas internas

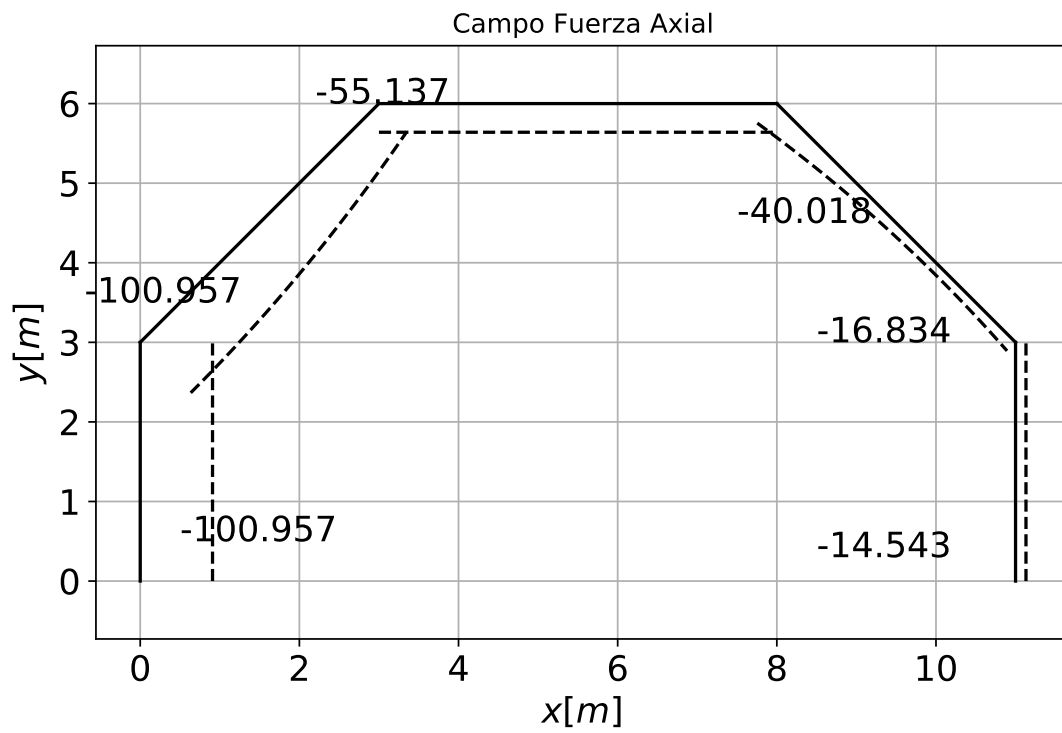


Figura 8: Campo de Fuerza Axial

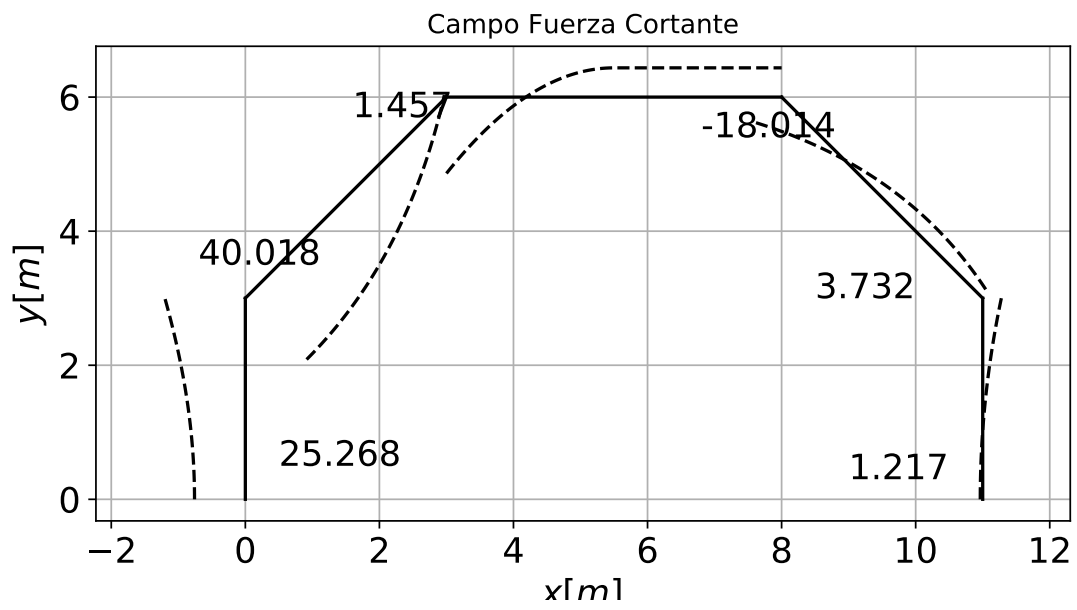


Figura 9: Campo Fuerza Cortante

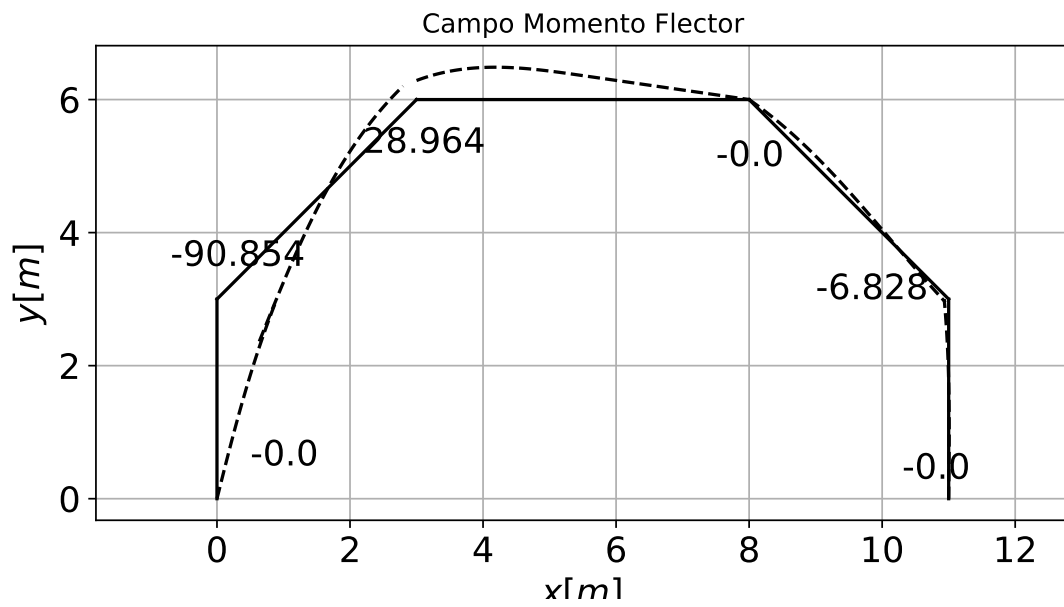


Figura 10: Campo Momento Flector